

### III-23 粒状材料の粒径と三軸圧縮特性の関係

神戸大学大学院 足立智之  
同 馬場太夫  
神戸大学工学部 正員 軽部大蔵

#### 1. 研究の目的と経過

この講演は、れき材やロック材が高圧下で示すせん断強さを、通常の小型低圧の三軸圧縮試験機による試験結果から推定する手法を開発する研究の一環である。前回の講演<sup>1)</sup>では、試料が巨視ではなく小型の三軸試験機に適した粒度分布を持つ場合に、低圧下の試験結果から高圧におけるせん断強さを推定する手法を提案した。すなわち、側圧 $\sigma_3$ -一定で等方圧密CD試験を行なう時、①破壊応力比  $M = \frac{f_3(\sigma_3 - \sigma_1)}{(\sigma_3 + 2\sigma_1)}$  とダイレイタニン-指數  $(\delta V/\delta E)_f$  と  $\sigma_3$  の間には、試料の初期間隙比  $e_0$  や  $\sigma_3$  に無関係に次式が成立すると仮定する。

$$M = -\alpha (\delta V/\delta E)_f + b \quad \dots \dots \dots (1) \quad \text{ここに、} \alpha, b \text{ は試料ごとに決まる定数}$$

②しかも、上式中のダイレイタニン-指數は、試料のロサンゼルスすり減り減量 ( $A\%$ )、ただし、損失重量を測定するふるいは  $0.105 \text{ mm}$  ）と  $\sigma_3$  の関数として次式で与えられる。

$$(\delta V/\delta E)_f = \alpha \log \left( \frac{\sigma_3}{\sigma_0} \right) + \beta \sqrt{A} - \gamma \quad \dots \dots \dots (2) \quad \text{ここに、} \sigma_0 = 1 \text{ kgf/cm}^2$$

$\alpha, \beta, \gamma$  は実験定数で、3種類の試料から、それぞれ定数値が計算された。講演時には、この手法の適用例として、三浦・山内<sup>2)</sup>の高压三軸圧縮試験結果がうまく推定できることを示した。式(2)の問題点の一つは、当然変数として含まれるであろう初期間隙比  $e_0$  が、試料の種類不足もあって取扱めなかったことであった。

今回の主題は、同一母材から作られた粒度分布の異なる試料のせん断特性である。与えられた試料の最大粒径が試験機の許容値を超える場合、通常とされる手段は、①許容値を超える粒子を取除く、②最大粒径が許容値に一致するような比例粒度分布の試料を元の試料から作る、の二つであるが、本研究の対象は最大粒径が許容値をはるかに超える場合であるから、試料の調製は、②によらざるを得なかった。

#### 2. 実験

使用した母材料は、砂岩を破碎した碎砂と海砂の2種類である。乾燥状態の母材料を図-1に示すように、それぞれ比例粒度（粒径比約5倍）をなす小粒径試料と大粒径試料に調製した。三軸試験の供試体寸法は、直径35、高さ約15mmである。試料を飽和させ、モールドに3層に分けて入れ、各層ごとに直径20mm、質量120gの球を落下させて締固めた。突固め回数Nは、碎砂小粒径試料については0~60回とし、他は30回に統一した。図-2はNと $e_0$ の関係を示し、図-3はN=30における各試料の $e_0$ のばらつきの中止平均値を示している。図-3では、飽和碎砂の大小両粒径試料の $e_0$ が等しくなっているが、一方、ここでは図を省略したが乾燥状態では海砂の大小両粒径試料のN~ $e_0$ 関係

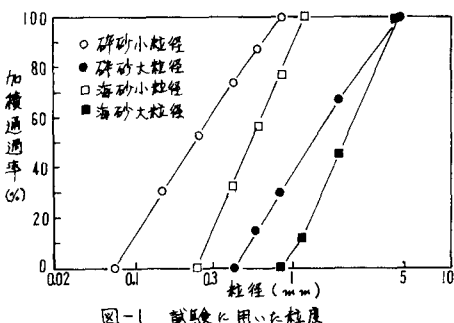
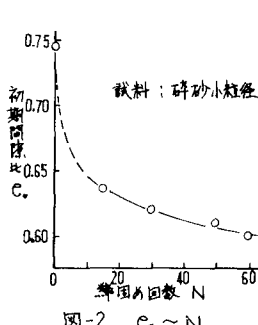


図-1 試験に用いた粒度



44

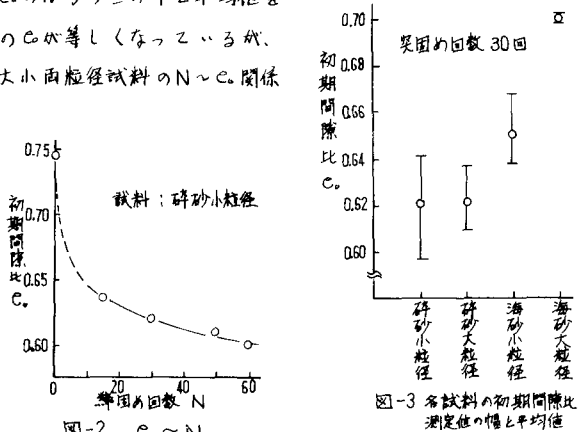


図-3 各試料の初期間隙比測定値の幅と平均値

成Nの広い範囲にわたってほとんど等しかった。

三軸圧縮試験はCD状態とし、等方圧密後、側圧 $\sigma_3$ を変えて0.5% / minの速さで軸方向圧縮した。図-4は、破壊時のダイレイタントー指數を示している。小粒径の方が膨張しやすいことがわかる。図-5, 6は圧縮強さを示している。大粒径試料の強さは $\sigma_3$ に比例してない。

ロサンゼルスすり減り減量（ただし、0.105mmふるい）は、碎砂大粒径試料1.07%，海砂大粒径試料2.23%であった。小粒径試料は、その粒径が損失重量を求めるふるいの目より細かったり、近すぎたりして、合理的な値が得られなかった。

### 3. 検討

図-7は式(1)の検討である。海砂は試験数が少ないので断言できないが、碎砂では粒径や $\sigma_3$ の差（図-2）にかかわらず式(1)が成立している。しかし、式(2)については、図-4から明らかなように、同じ母材であっても定数 $\alpha$ （傾き）は等しくない。大粒径試料同士では、たまたま $\alpha$ が一致したが、その値は前回の報告<sup>1)</sup>の2倍以上である。また、定数 $\beta$ 、 $\gamma$ も前回ヒー一致しなかった。ダイレイタントー指數の要因を $C_d$ も含めて、また、式(2)の形にヒラカレズ再検討しなければならない。

このように、式(2)は実用的価値はないが、ともかく大粒径試料について、図-4とすり減り減量の測定値A(%)から定数 $\alpha = 0.64$ 、 $\beta = 0.545$ 、 $\gamma = 1.25$ と決定し、また図-7から式(1)の定数 $\alpha$ を碎砂； $a = 0.17$ 、 $b = 1.76$ 、海砂； $0.50$ 、 $1.44$ と決定して側圧とM( $C' = 0$ と仮定する)の関係を求めると、

$$\begin{aligned} \text{碎砂大粒径} \quad M &= 1.88 - 0.11 \log_{10} (\sigma_3 / \sigma_0) \\ \text{海砂大粒径} \quad M &= 1.66 - 0.32 \log_{10} (\sigma_3 / \sigma_0) \end{aligned} \quad \left. \begin{array}{l} (3), \text{ただし, } \sigma_0 = 1 \text{ kgf/cm}^2 \\ \text{ } \end{array} \right\}$$

$$\text{あるは、碎砂大粒径} \quad (\sigma_i - \sigma_3)_+ = \frac{1.88 - 0.11 \log_{10} (\sigma_3 / \sigma_0)}{0.373 + 0.037 \log_{10} (\sigma_3 / \sigma_0)} \sigma_3 \quad \cdots \cdots \quad (4)$$

図-8中の実線は式(3)を、またプロットは図-5, 6に示した実測値（いずれも $C_d = 0$ と仮定）を表している。  
文献 1) 軽部・寺井、第35回国土木学会年次学術講演会、Ⅱ-19, 2) 三浦・山内、土木学会論文報告集、260号

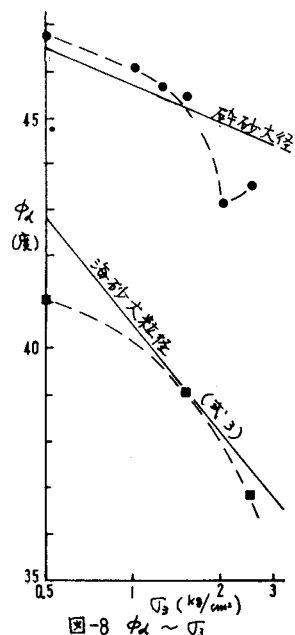
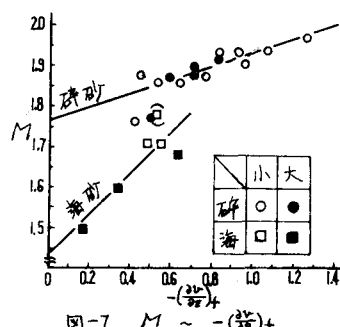
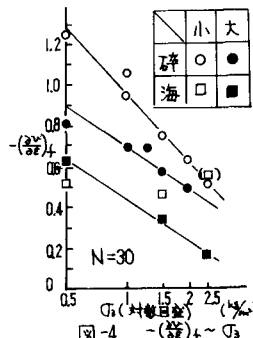
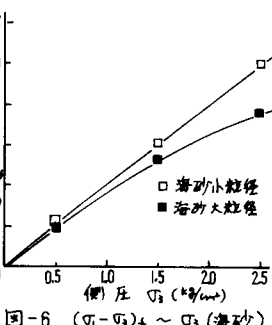
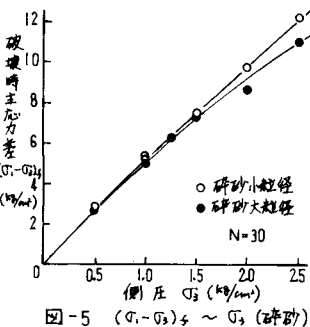


図-5  $(\sigma_i - \sigma_3)_+ \sim \sigma_3$  (碎砂)

図-6  $(\sigma_i - \sigma_3)_+ \sim \sigma_3$  (碎砂)

図-7  $M \sim -(\frac{\sigma_i}{\sigma_3})_+ \sim \sigma_3$

図-8  $\phi_d \sim \sigma_3$